

Analisis Stabilitas Lereng dan Konstruksi Dinding Penahan Tanah untuk Penanganan Longsoran Kayulangi Batas Provinsi Sulawesi Tengah

Ainurrasyid Musa¹, Muhammad Ardyansah Ikhsan², Winarno Arifin³, St. Fauziah Badaruddin⁴, Mukti Maruddin⁵

1,2,3,4,5) Program Studi Teknik Sipil Fakultas Teknik Universitas Muslim indonesia Jl. Urip Sumoharjo kM 05 Makassar, Sulawesi Selatan *Email*: 1) ainurrasyidmusa02@gmail.com; 2) ardyancha31@gmail.com; 3) winarno.arifin@umi.ac.id; 4) sitifauziahbadrun@gmail.com; 5) mukti.mukti@umi.ac.id

ABSTRAK

Tanah longsor kerap terjadi di berbagai titik di Indonesia utamanya saat musim hujan dan menimbulkan berbagai konsekuensi negatif. Salah satu wilayah yang rentan akan kejadian tanah longsor yaitu Desa Kayulangi Kabupaten Luwu Timur, Sulawesi Selatan, yang merupakan ruas jalan Nasional menuju Provinsi Sulawesi Tengah yang dilalui banyak kendaraan. Lereng pada lokasi yang ditinjau merupakan jalan Trans Sulawesi, yang mana Tahun 2010 merupakan saat pertama kalinya terjadi longsor di area tersebutd. Dalam penelitian ini dicoba menganalisis kestabilan lereng di titik tersebut dengan metode Fellenius dan merencanakan konstruksi dinding penahan tanah dengan konstruksi bronjong. Data sondir dan data pengeboran tangan dikumpulkan dalam tiga hari di lokasi. Dari data yang dikumpulkan selanjutnya dilakukan pengolahan data hasil pengujian sondir dan perancangan dinding penahan tanah sehingga dapat diperoleh data faktor keamanan dan nilai kestabilan lereng pada lokasi rawan longsor menggunakan metode Fellenius dan penanganan menggunakan konstruksi bronjong atau pasangan batu dengan menggunakan kawat. Dari hasil analisis lereng, diperoleh nilai faktor keamanan untuk irisan 1 sampai 4 adalah 0,715, irisan 5 – 8 adalah 4,003, irisan 9 – 12 adalah 28,284. Adapun untuk penanggulangan kelongsoran direkomendasikan menggunakan bronjong, karena bronjong dinilai lebih efisien.

Kata Kunci: Stabilitas lereng, faktor keamanan, fellenius, dinding penahan tanah

ABSTRACT

Landslides often occur at various rigions in Indonesia, especially during the rainy season and cause various negative consequences. One area that is vulnerable to landslides is Kayulangi Village, East Luwu Regency, South Sulawesi, which is a section of the national road to Central Sulawesi Province that is traversed by many vehicles. The slope in the location under review is the Trans Sulawesi road, which in 2010 was the first time that a landslide occurred in those land. In this study, the stability of the slope at that point was analyzed with the Fellenius method and the construction of retaining walls with gabion construction planned. Sondir data and hand drilling data were collected within three days on site. From the data collected, the results of sondir test data processing and the design of retaining walls can be processed so that safety factor data and slope stability values can be obtained at landslide-prone locations using the Fellenius method and handling using gabion construction or stone masonry using wire. From the slope calculation, the safety factor for slices 1 to 4 is 0.715, slices 5 to 8 is 4.003, slices 9 to 12 are 28.284. As for the prevention of landslides, it is recommended to use gabions, because gabions are considered more efficient.

Keywords: Slope stability, safety factor, fellenius, retaining wall

1. Pendahuluan

1.1 Latar Belakang

146 Analisis Stabilitas Lereng dan Konstruksi Dinding Penahan Tanah untuk Penanganan Longsoran Kayulangi Batas Provinsi Sulawesi Tengah

Kontur dan topografi di Indonesia didominasi dengan permukaan yang tidak rata menyebabkan kestabilan lereng khsusunya di daerah perbukitan perlu diperhatikan demi menjaga keselamatan warga karenanya analisis terkait kestabilan lereng menjadi salah satu perhatian utama dalam perencanaan konstruksi sipil (Pangemanan et al., 2014). Namun demikian, keterbatasan lahan, biaya, dan durasi pekerjaan merupakan tantangan yang sering dihadapi para perencana dalam upaya stabilisasi dan perkuatan lereng (Hanif et al., 2017).

Lereng (slope) terbentuk saat bidang permukaan tanah memliki kontur yang tidak rata dimana terdapat perubahan elevasi yang cukup signifikan antar titik ada zona yang berdekatan (Arifuddin et al., 2020). Pada lereng baik yang terbentuk secara alami maupun buatan berisiko mengalami longsor utamanya pada musim penghujan (Agustina, 2012). Selain pengaruh cuaca, stabilitas lereng juga dapat goyah akibat kegiatan keseharian warga di daaerah lereng yang menyebabkan ketdakseimbangan gaya yang ditimbulkan pada lereng dengan kemampuan lereng menahan gaya tersebut (Takwin et al., 2017). Longsor membawa banyak konsekuensi negatif mulai dari kerusakan fisik, terganggunya mobilitas aktivitas dan warga. lumpuhnya kegiatan ekonomi, hingga menelan korban jiwa (Rahayu & Hakim, 2019).

Lereng pada suatu lokasi di jalan Trans Sulawesi mengalami logsor pertama kali di Tahun 2010 yang kemudian sering terjadi kembali saat musim hujan. Ketidakstabilan lereng sangat berisiko bagi warga dan lingkungan sekitar, karenanya analisis stabilitas lereng dengan perhitungan faktor keamanan khususnya pada wilayah yang rawan longsor menjadi tindakan antisipatif untuk menangani risiko longsor (Rolos et al., 2017).

1.2 Rumusan masalah

1) Bagaimanah nilai faktor keamanan

- kestabilan lereng dengan menggunakan metode *Fellenius*?
- 2) Bagaimanakah stabilitas dinding penahan tanah dengan menggunakan konstruksi bronjong?

1.3 Tujuan Penelitian

- 1) Menganalisis nilai faktor keamanan kestabilan lereng dengan menggunakan metode *Fellenius*.
- 2) Menganalisis stabilitas dinding penahan tanah dengan menggunakan konstruksi bronjong.

2. Metode penelitian

2.1 Lokasi dan Waktu Penelitian

Pengujian sondir dan hand bored dilakukan selama tiga hari di jalan Trans Sulawesi, Kecamatan Mangkutana Kabupaten Luwu Timur Provinsi Sulawesi Selatan.

2.2 Metode Pengumpulan Data

Survei lapangan dilakukan melalui pengujian sondir dan *Hand bored* di titik yang telah ditentukan. Penelitian ini menghasilkan data faktor keamanan dan nilai kestabilan lereng pada lokasi rawan longsor menggunakan metode *Fellenius* dan penanganan menggunakan konstruksi bronjong atau pasangan batu dengan menggunakan kawat.

Alat bantu *theodolite* digunakan untuk memperoleh luas tanah, bentuk permukaan, dan elevasi lereng.

2.3 Metode Pengolahan Data

Dari uji sondir diperoleh kohesi tanah, sudu geser, dan gamma tanah

Perencanaan dinding penahan tanah (DPT) dilakuakan dengan tahapan berikut:

- a. Menghitung tekanan tanah aktif dan pasif.
- b. Penentuan dimensi dan kalkulasi beban.
- c. Perhitungan *safety factor* terhadap guling (Fgl) dan geser (Fgs). .
- d. Perhitungan *safety factor* terhadap kuat dukung tanah (F).

3. Hasil dan Pembahasan

3.1 Data Penyelidikan Lapangan Pengujian Sondir (DCPT)

- a. Kedalaman 0,0 3,20 m berupa lapisan tanah dengan kekuatan lunak hingga keras.
- b. Kedalaman 3,20 m kebawah berupa lapisan tanah keras dengan nilai perlawanan konus (qc) = 180 kg/cm² dengan jumlah perlawanan (frksi) = 240 kg/cm².

Data Pengeboran Inti

- Kedalaman 0,0 m 1,00 m, berupa lapisan tanah lempung dengan warna coklat kekuningan.
- b. Kedalaman 1,00 m 3,00 m, berupa lapisan lempung berkerikil dan berbatu lepas dengan warna abu-abu kecoklatan dengan nilai (SPT = 13N).

- c. Kedalaman 3,00 m 5,00 m, berupa lapisan pasir berlempung dan berkerikil dengan warna coklat keabuan dengan nilai (SPT = 32N).
- d. Kedalaman 5,00 m 7,50 m, berupa lapisan lempung berpasir dan berkerikil dengan warna coklat kekuningan dengan nilai (SPT = 14N).
- e. Kedalaman 7,50 m 11,50 mberupa lapisan pasir berlempung dan berkerikil dengan warna coklat keabuan dengan nilai (SPT = 34N).
- f. Kedalaman 11,50 m 13,00 m, berupa lapisan pasir berlempung dan berbatu lepas dengan warna coklat keabuan dengan nilai SPT>50 N.

3.2 Pengolahan Data Sondir

Untuk mengkorelasikan nilai qc untuk mengetahui nilai sudut geser setiap lapisan tanah

Tabel 1 Hubungan antara nilai N, tekanan konus qc, sudut geser dalam

Kepadatan	Relatife Density (Dr)	Nilai N	Tekanan konus qc (kg/cm²)	Sudut geser dalam (غ)
Very loose	< 0,2	< 4	< 20	< 30
Loose	0,2-0,4	4 - 10	20 - 40	30 - 35
Medium dense	0,4-0,6	10 - 30	40 - 120	35 - 40
Dense	0.6 - 0.8	30 - 50	120 - 200	40 - 45
Very dense	0.8 - 1.0	> 50	> 200	> 45

Untuk nilai sudut geser adalah

- a. Lapisan tanah pertama (0.00 m 0.80 m) dilihat dari nilai qc = 8 Kg/cm^2 , maka nilai sudut geser adalah 30.00° .
- b. Lapisan tanah kedua (1,00 m 2,00 m) dilihat dari nilai qc = 42 Kg/cm², maka nilai sudut geser adalah 35,12°
- c. Lapisan tanah ketiga (2,20 3,20 m) dilihat dari nilai qc = >200 Kg/cm², maka nilai sudut geser adalah 45,00°.

pada setiap lapisan melalui korelasinya dengan nilai qc, digunakan hubungan antara konsistensi dengan tekanan conus pada tanah lempung yang bersumber dari Hermann Bagemann, 1965.

3.3 Korelasi antara Konsistensi Tanah dengan Tekanan Konus

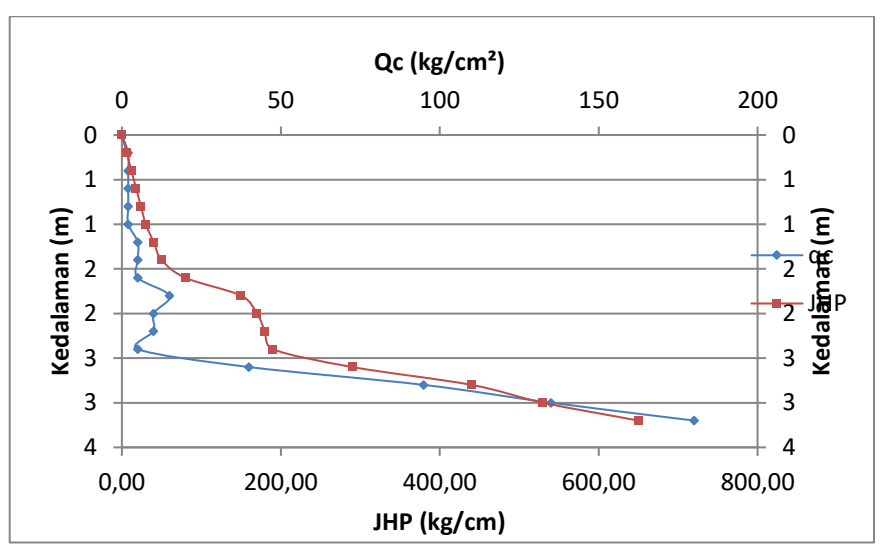
Agar dapat diperoleh nilai kohesi tanah (c)

Tabel 2 Tabel hubungan antara konsistensi dengan tekanan conus pada tanah lempung

Konsistensi tanah	Tekanan konus qc	Undrained cohesion		
Monsistensi tanan	(kg/cm ²)	(T/m²)		
Very Soft	< 2,50	< 1,25		
Soft	2,50-5,0	1,25-2,50		
Medium Stiff	5,0 - 10,0	2,50-5,0		
Stiff	10,0-20,0	5,0-10,0		
Very Stiff	20,0-40,0	10,0-20,0		
Hard	> 40,0	> 20,0		

Nilasi dudut geser yang tidak tertera pada tabel diperoleh dengan interpolasi sebagai berikut:

- a. Lapisan pertama 0.00 0.80 m dilihat dari nilai qc: 8 Kg/cm², nilai kohesi tanah adalah 4.00 t/m²
- Lapisan kedua 1,00 2,00 m dilihat dari nilai qc: 42 Kg/cm², nilai kohesi tanah adalah 20,00 t/m²
- c. Lapisan ketiga 2,20 3,20 m dilihat dari nilai qc: >200 Kg/cm², nilai kohesi tanah adalah 20,00 t/m².



Gambar 1 Grafik hubungan antara data qc dan data JHP

3.4 Gamma Tanah

turunan dari nilai sudut geser (φ)

Nilai gamma tanah diperoleh sebagai

Tabel 3 Berat jenis tanah untuk tanah non kohesif dan kohesif

Units			Cohesive		
N	<4	4 - 6	6 - 15	16 - 25	>25
Unit Weight y kN/m ³	14 - 18	16 - 18	16 - 18	16 - 20	>20
Qu, kPa	<25	20 - 50	30 - 60	40 - 200	> 100
Consistency	Very Soft	Soft	Medium	Stiff	Hard

Nila gamma tanah yang tidak tercantum dalam tabel 3 diinterpolasi:

- a. Lapisan tanah pertama 0,00 m 0,80 m dilihat dari konsistensi maka nilai gamma tanah adalah 16 kN/m³
- b. Lapisan tanah kedua 1,00 m 2,00 m dilihat dari konsistensi tanah maka gamma tanah adalah 20

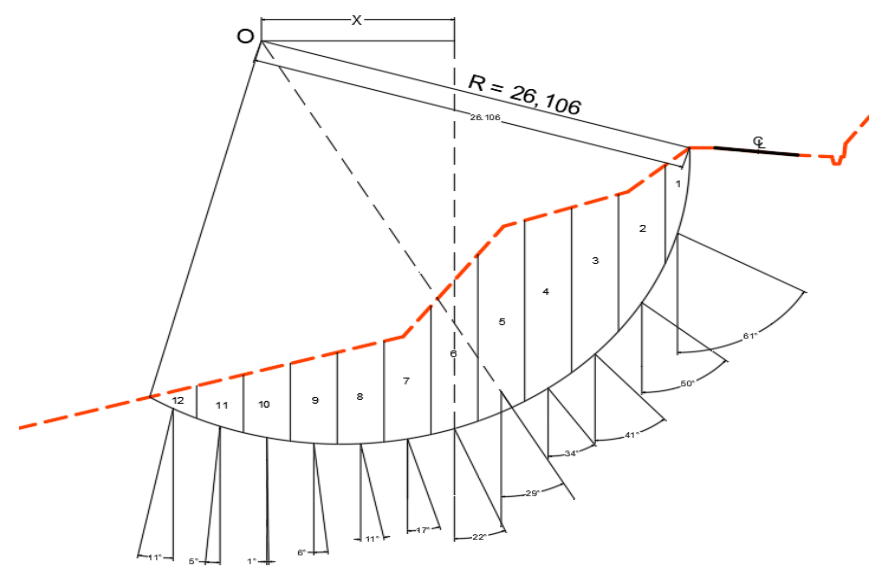
 kN/m^3

c. Lapisan tanah ketiga 2,20~m-3,20~m dilihat dari konsistensi tanah maka gamma tanah adalah $20~kN/m^3$

3.5 Metode Fellenius

Metode Fellenius diperkenalkan pertama oleh Fellenius pada tahun (1927, 1936)

yang menyatakan bahwa sudut kemiringan paralel yang dihasilkan dari sebuah gaya dapt dibagi menjadi beberapa irisan dimana hasil penampang lereng pada lokasi penelitian dibagi dalam jumlah irisan berikut:



Gambar 2 Desain lereng dan model irisan

3.5.1 Perhitungan faktor keamanan

Dengan menggunakan rumus sebagai berikut:

$$SF = \frac{(Kohesi(1) * \sum L) + (\sum W. \cos \alpha * tan \emptyset)}{\sum W. \sin \alpha}$$

 Pada irisan 1 – 4 nilai Faktor keamanan yang terjadi <1,2 maka pada irisan tersebut gerakan tanah sering terjadi dengan nilai

- FS = 0.715
- 2. Pada irisan 5 8 nilai Faktor keamanan yang terjadi >2 maka pada irisan tersebut gerakan tanah sering terjadi dengan nilai FS = 4,003
- 3. Pada irisan 9 12 nilai Faktor keamanan yang terjadi >2 maka pada irisan tersebut gerakan tanah sering terjadi dengan nilai FS = 28,184.

Tabel 4 Perhitungan dengan menggunakan metode Fellenius

No Pias	Panjang Irisan (L)	Lebar Irisan	Luas Irisan (A)	Sudut Tiap Irisan (a)	Wt * Sin α	Wt * Cos α	Safety Factor
1	1,42	1,87	2,66	61,00	37,23	20,63	0,47
2	2,73	3,47	9,49	50,00	116,28	$97,\!57$	0,58
3	2,73	2,89	7,89	41,00	82,82	$95,\!28$	0,80
4	2,73	2,89	7,89	34,00	70,60	104,66	1,01
5	2,73	3,81	10,41	29,00	100,97	182,16	1,81
6	2,73	4,56	12,47	22,00	93,40	231,18	3,06
7	2,73	3,87	10,57	17,00	61,81	202,16	4,16
8	2,73	2,85	7,78	11,00	29,70	152,81	6,99
9	2,73	2,85	7,78	6,00	16,27	154,82	12,87
10	2,73	2,85	7,78	1,00	2,72	155,65	77,42
11	2,73	2,85	7,79	5,00	13,58	155,24	15,46
12	2,73	2,84	7,77	11,00	29,66	152,60	6,99
Σ	31,50			,	655,05	1704,78	131,60
	Nilai						
	rata-						
\sum (kritis)	rata						1,698

Berdasarkan tabel 4 dengan melakukan perhitungan data dengan menggunakan metode *Fellenius*, dibagi dengan 3 lapisan sesuai dengan jumlah irisan yang ditentukan, untuk lapisan yang dalam kondisi kritis adalah irisan 1 sampai irisan 7 maka perlu dilakukan penanganan, dengan menggunakan konstruksi dinding penahan tanah.

4. Penutup

4.1 Kesimpulan

Menurut analisis stabilitas lereng dan konstruksi berikut ini beberapa kesimpulan yang dapat ditarik:

- Faktor keamanan hasil Analisis stabilitas lereng;
 - 1 4 adalah = 0,715
 - 5 8 adalah = 4.003
 - 9 12 adalah = 28,284
- Nilai faktor keamanan hasil analisis dinding penahan tanah;
 Analisis guling = 5.41 > 1.5

Analisis guling = 5,41 > 1,5Analisis geser = 4,67 > 1,5Analisis penurunan = 12,86 > 2

4.2 Saran

- Agar hasil kalkulasi lebih presisi, stabilitas lereng dapat dianalisis berdasarkan perbandingan dengan menggunkan dua atau tiga metode manual.
- 2) Untuk penanggulangan kelongsoran direkomendasikan menggunakan bronjong, karena bronjong dinilai lebih efisien terhadap mutu dan waktu pelaksanaan, selain dinilai lebih efisien dalam tahap perencanaan pelaksanaan dan bronjong juga dinilai lebih efisien dalam perawatan struktur atau pemeliharaan.

Daftar Pustaka

Agustina, D. H. (2012). Soil Bioengineering sebagai Alternatif Metoda Stabilisasi Longsoran. Jurnal Dimensi, 1(1), 1–7.

- https://www.journal.unrika.ac.id/index.php/jurnaldms/article/download/151/147
- Arifuddin, A. A., Lukman, H., & Budiono. (2020). Perbandingan Metode Fellenius dan Metode Bishop Menggunakan Sotware Rocscience Slide Dalam Analisis Stabilitas Lereng (Studi Kasus: Sumurkadu Desa Bendungan, Kecamatan Jonggol) Program Studi Teknik Sipil Fakultas Teknik Universitas Pakuan Program Stud. Jurnal Online Mahasiswa Bidang Teknik Sipil, 1(1), 1–10.
- Hanif, F., Setiawan, B., & Dananjaya, R. H. (2017). Analisis Perkuatan Soil Nailing Sebagai Metode Perbaikan Stabilitas Lereng. *Matriks Teknik Sipil*, 5(2), 484. https://jurnal.uns.ac.id/matriks/article/view/36860
- Pangemanan, V. G. M., Turangan, A. ., & Sompie, O. B. . (2014). Analisis Kestabilan Lereng dengan Metode Fellenius (Studi Kasus: Kawasan Citraland). *Jurnal Sipil Statik*, 2(1), 37–46. http://ejournal.unsrat.ac.id/index.p hp/jss/article/view/3920
- Rahayu, B., & Hakim, R. B. F. (2019).

 Pengelompokan Dampak Bencana
 Longsor di Indonesia
 Menggunakan Kohonen Self
 Organizing Maps (SOM). 1–17.
- Rolos, G. J., Turangan, A. E., & Sompie, O. B. A. (2017). Analisa Kestabilan Lereng Metode Lowe-Karafiath (Studi Kasus: Glory Hill Citraland). *Tekno*, *15*(67), 23–33.
- Takwin, G. A., Turangan, A. E., & Rondonuwu, S. G. (2017). Analisis Kestabilan Lereng Metode Morgenstern-Price (Studi Kasus: Diamond Hill Citraland). *Tekno*, 15(67), 66–76.